

Starkniederschlagshöhen und -spenden gemäß KOSTRA-DWD-2020

Rasterfeld 213143

(Zeile 213, Spalte 143)

Regenspende und Bemessungsniederschlagswerte in Abhängigkeit von Wiederkehrzeit T und Dauerstufe D

| Dauerstufe D | | Wiederkehrzeit T | | | | | | | | | | | | | | | | | |
|--------------|-----|------------------|------------|-------|------------|-------|------------|-------|------------|-------|------------|-------|------------|-------|------------|-------|------------|-------|------------|
| | | 1 a | | 2 a | | 3 a | | 5 a | | 10 a | | 20 a | | 30 a | | 50 a | | 100 a | |
| min | Std | mm | l / (s ha) | mm | l / (s ha) | mm | l / (s ha) | mm | l / (s ha) | mm | l / (s ha) | mm | l / (s ha) | mm | l / (s ha) | mm | l / (s ha) | mm | l / (s ha) |
| 5 | | 6,9 | 230,0 | 8,3 | 276,7 | 9,2 | 306,7 | 10,3 | 343,3 | 11,9 | 396,7 | 13,6 | 453,3 | 14,7 | 490,0 | 16,1 | 536,7 | 18,2 | 606,7 |
| 10 | | 9,4 | 156,7 | 11,3 | 188,3 | 12,5 | 208,3 | 14,0 | 233,3 | 16,2 | 270,0 | 18,5 | 308,3 | 20,0 | 333,3 | 22,0 | 366,7 | 24,8 | 413,3 |
| 15 | | 11,1 | 123,3 | 13,3 | 147,8 | 14,7 | 163,3 | 16,5 | 183,3 | 19,1 | 212,2 | 21,8 | 242,2 | 23,6 | 262,2 | 25,9 | 287,8 | 29,2 | 324,4 |
| 20 | | 12,4 | 103,3 | 14,9 | 124,2 | 16,4 | 136,7 | 18,5 | 154,2 | 21,4 | 178,3 | 24,4 | 203,3 | 26,4 | 220,0 | 29,0 | 241,7 | 32,7 | 272,5 |
| 30 | | 14,5 | 80,6 | 17,4 | 96,7 | 19,2 | 106,7 | 21,5 | 119,4 | 25,0 | 138,9 | 28,5 | 158,3 | 30,8 | 171,1 | 33,8 | 187,8 | 38,1 | 211,7 |
| 45 | | 16,8 | 62,2 | 20,2 | 74,8 | 22,3 | 82,6 | 25,0 | 92,6 | 29,0 | 107,4 | 33,1 | 122,6 | 35,7 | 132,2 | 39,2 | 145,2 | 44,3 | 164,1 |
| 60 | 1 | 18,7 | 51,9 | 22,4 | 62,2 | 24,7 | 68,6 | 27,8 | 77,2 | 32,2 | 89,4 | 36,7 | 101,9 | 39,7 | 110,3 | 43,6 | 121,1 | 49,2 | 136,7 |
| 90 | 1,5 | 21,6 | 40,0 | 25,9 | 48,0 | 28,6 | 53,0 | 32,1 | 59,4 | 37,2 | 68,9 | 42,5 | 78,7 | 45,9 | 85,0 | 50,4 | 93,3 | 56,9 | 105,4 |
| 120 | 2 | 23,9 | 33,2 | 28,7 | 39,9 | 31,7 | 44,0 | 35,6 | 49,4 | 41,2 | 57,2 | 47,1 | 65,4 | 50,9 | 70,7 | 55,9 | 77,6 | 63,0 | 87,5 |
| 180 | 3 | 27,6 | 25,6 | 33,2 | 30,7 | 36,6 | 33,9 | 41,1 | 38,1 | 47,6 | 44,1 | 54,3 | 50,3 | 58,7 | 54,4 | 64,5 | 59,7 | 72,7 | 67,3 |
| 240 | 4 | 30,5 | 21,2 | 36,7 | 25,5 | 40,5 | 28,1 | 45,5 | 31,6 | 52,7 | 36,6 | 60,1 | 41,7 | 65,0 | 45,1 | 71,4 | 49,6 | 80,5 | 55,9 |
| 360 | 6 | 35,2 | 16,3 | 42,3 | 19,6 | 46,7 | 21,6 | 52,5 | 24,3 | 60,8 | 28,1 | 69,4 | 32,1 | 75,0 | 34,7 | 82,3 | 38,1 | 92,8 | 43,0 |
| 540 | 9 | 40,6 | 12,5 | 48,8 | 15,1 | 53,9 | 16,6 | 60,5 | 18,7 | 70,1 | 21,6 | 80,0 | 24,7 | 86,4 | 26,7 | 94,9 | 29,3 | 107,0 | 33,0 |
| 720 | 12 | 44,9 | 10,4 | 54,0 | 12,5 | 59,6 | 13,8 | 66,9 | 15,5 | 77,5 | 17,9 | 88,4 | 20,5 | 95,6 | 22,1 | 105,0 | 24,3 | 118,4 | 27,4 |
| 1080 | 18 | 51,8 | 8,0 | 62,2 | 9,6 | 68,6 | 10,6 | 77,1 | 11,9 | 89,3 | 13,8 | 101,9 | 15,7 | 110,2 | 17,0 | 121,0 | 18,7 | 136,4 | 21,0 |
| 1440 | 24 | 57,3 | 6,6 | 68,8 | 8,0 | 75,9 | 8,8 | 85,3 | 9,9 | 98,8 | 11,4 | 112,7 | 13,0 | 121,8 | 14,1 | 133,8 | 15,5 | 150,9 | 17,5 |
| 2880 | 48 | 72,9 | 4,2 | 87,6 | 5,1 | 96,7 | 5,6 | 108,7 | 6,3 | 125,9 | 7,3 | 143,6 | 8,3 | 155,2 | 9,0 | 170,4 | 9,9 | 192,2 | 11,1 |
| 4320 | 72 | 84,0 | 3,2 | 101,0 | 3,9 | 111,4 | 4,3 | 125,2 | 4,8 | 145,0 | 5,6 | 165,4 | 6,4 | 178,8 | 6,9 | 196,3 | 7,6 | 221,5 | 8,5 |
| 5760 | 96 | 92,9 | 2,7 | 111,6 | 3,2 | 123,2 | 3,6 | 138,4 | 4,0 | 160,3 | 4,6 | 182,9 | 5,3 | 197,7 | 5,7 | 217,1 | 6,3 | 244,9 | 7,1 |
| 7200 | 120 | 100,5 | 2,3 | 120,7 | 2,8 | 133,2 | 3,1 | 149,6 | 3,5 | 173,3 | 4,0 | 197,7 | 4,6 | 213,7 | 4,9 | 234,7 | 5,4 | 264,7 | 6,1 |
| 8640 | 144 | 107,1 | 2,1 | 128,6 | 2,5 | 141,9 | 2,7 | 159,5 | 3,1 | 184,7 | 3,6 | 210,7 | 4,1 | 227,8 | 4,4 | 250,1 | 4,8 | 282,1 | 5,4 |
| 10080 | 168 | 113,0 | 1,9 | 135,7 | 2,2 | 149,8 | 2,5 | 168,3 | 2,8 | 194,9 | 3,2 | 222,4 | 3,7 | 240,4 | 4,0 | 264,0 | 4,4 | 297,7 | 4,9 |

Starkniederschlagshöhen und -spenden gemäß KOSTRA-DWD-2020

Rasterfeld 213143

(Zeile 213, Spalte 143)

Örtliche Unsicherheiten in Abhängigkeit von Wiederkehrzeit T und Dauerstufe D

| Dauerstufe D | | Wiederkehrzeit T | | | | | | | | |
|--------------|-----|------------------|-----|-----|-----|------|------|------|------|-------|
| | | 1 a | 2 a | 3 a | 5 a | 10 a | 20 a | 30 a | 50 a | 100 a |
| min | Std | ± % | ± % | ± % | ± % | ± % | ± % | ± % | ± % | ± % |
| 5 | | 23 | 24 | 25 | 25 | 26 | 26 | 27 | 27 | 27 |
| 10 | | 27 | 28 | 28 | 29 | 29 | 30 | 30 | 31 | 31 |
| 15 | | 28 | 29 | 29 | 30 | 31 | 31 | 31 | 32 | 32 |
| 20 | | 28 | 29 | 29 | 30 | 31 | 31 | 32 | 32 | 32 |
| 30 | | 27 | 28 | 29 | 30 | 30 | 31 | 31 | 31 | 32 |
| 45 | | 26 | 27 | 28 | 28 | 29 | 30 | 30 | 30 | 31 |
| 60 | 1 | 25 | 26 | 27 | 27 | 28 | 28 | 29 | 29 | 30 |
| 90 | 1,5 | 23 | 24 | 25 | 25 | 26 | 27 | 27 | 27 | 28 |
| 120 | 2 | 22 | 23 | 23 | 24 | 25 | 25 | 26 | 26 | 26 |
| 180 | 3 | 20 | 21 | 22 | 22 | 23 | 23 | 23 | 24 | 24 |
| 240 | 4 | 19 | 20 | 20 | 21 | 21 | 22 | 22 | 22 | 23 |
| 360 | 6 | 18 | 19 | 19 | 19 | 20 | 20 | 21 | 21 | 21 |
| 540 | 9 | 17 | 18 | 18 | 18 | 19 | 19 | 19 | 19 | 20 |
| 720 | 12 | 17 | 18 | 18 | 18 | 18 | 19 | 19 | 19 | 19 |
| 1080 | 18 | 18 | 18 | 18 | 18 | 18 | 18 | 19 | 19 | 19 |
| 1440 | 24 | 19 | 19 | 19 | 19 | 19 | 19 | 19 | 19 | 19 |
| 2880 | 48 | 23 | 22 | 22 | 22 | 21 | 21 | 21 | 21 | 21 |
| 4320 | 72 | 25 | 25 | 24 | 24 | 24 | 24 | 23 | 23 | 23 |
| 5760 | 96 | 27 | 27 | 26 | 26 | 26 | 25 | 25 | 25 | 25 |
| 7200 | 120 | 29 | 28 | 28 | 27 | 27 | 27 | 27 | 27 | 26 |
| 8640 | 144 | 30 | 29 | 29 | 29 | 28 | 28 | 28 | 28 | 28 |
| 10080 | 168 | 32 | 31 | 30 | 30 | 30 | 29 | 29 | 29 | 29 |

Parameter für abweichende T und D

Lokationsparameter ξ (Xi)

18,90083162

Skalenparameter α (Alpha)

5,28655708

Formparameter κ (Kappa)

-0,1

1. Koutsoyiannis-Parameter θ (Theta)

0,01967605

2. Koutsoyiannis-Parameter η (Eta)

0,65092158

Parameter für dauerstufenübergreifende Extremwertschätzung nach KOUTSOYIANNIS et al. 1998.

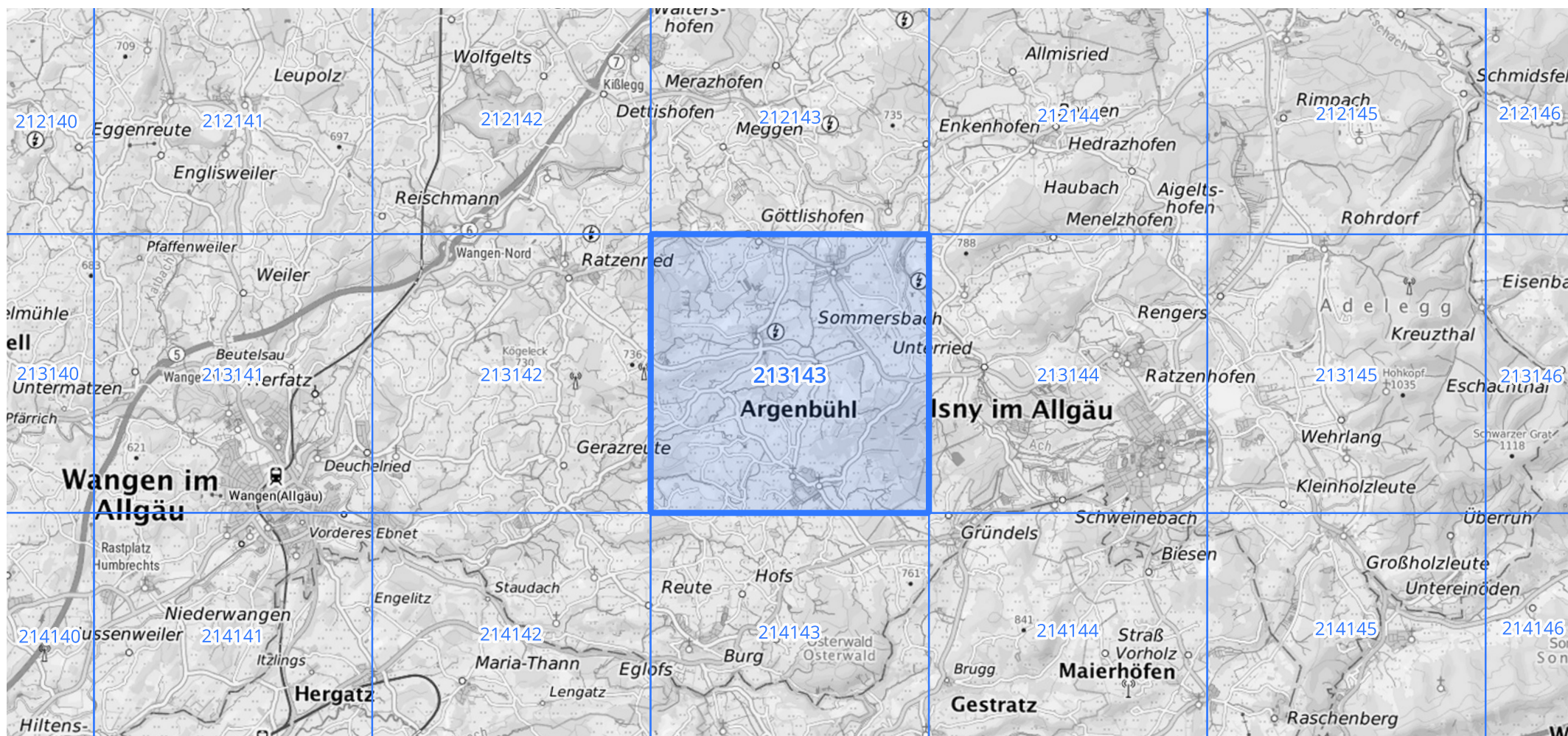
Siehe auch Anwendungshilfe zu KOSTRA-DWD-2020 des Deutschen Wetterdienstes.

Starkniederschlagshöhen und -spenden gemäß KOSTRA-DWD-2020

Rasterfeld 213143

(Zeile 213, Spalte 143)

Übersichtskarte des Rasterfeldes 213143, M 1 : 100 000



Quelle Rasterdaten: KOSTRA-DWD-2020 des Deutschen Wetterdienstes, Stand 12/2022.

Seite 3 von 3

Kartendarstellung: © Bundesamt für Kartographie und Geodäsie (2023), Datenquellen: https://sgx.geodatenzentrum.de/web_public/gdz/datenquellen/Datenquellen_TopPlusOpen.html

Für die Richtigkeit und Aktualität der Angaben wird keine Gewähr übernommen. Erstellt 01/2023.